

К РАСЧЕТУ МОДЕЛИ ПОРИСТОГО ТЕЛА ПРИ ВЫСОКИХ ТЕМПЕРАТУРАХ

С. П. Детков (Свердловск)

Одномерное пористое тело представляется системой одинаковых осесимметричных каналов в сплошной среде. Градиент температуры совпадает с осью канала. Для увеличения теплового сопротивления через каналы проpusкаются газ или жидкость. Определяется тепловой поток. Это возможно лишь путем вычисления температурного поля, необходимого, кроме того, для заключения о поведении материала. Рассматривается стационарная теплопередача. Модель такова, что достаточно рассмотреть ее элементарную ячейку — отдельный канал. Общие допущения: локальное термодинамическое равновесие, серое и диффузное излучение, непрозрачные стенки, изотропное рассеяние.

1. Уравнения для температур в сечениях просвета и стенки. Температура усредняется по каждому сечению. Вводятся переменные

$$x = \frac{l}{D}, \quad \tau = \int_0^l k dl$$

Здесь l — длина канала, отсчитываемая от торца 1 ($x = 0, \tau = 0$) (фиг. 1); для торца 2 $x = x_0, \tau = \tau_0; D$ — выбранная ширина канала; $k = \alpha + \beta$ — коэффициент ослабления луча в среде, α и β — коэффициенты поглощения и рассеяния. Удобно ввести общую переменную u , под которой подразумевается x или τ в зависимости от вида функций.

Введем функции: $W_{uu'} | u' - u |$ — вероятность того, что квант энергии, проходящий через сечение $F(u)$, попадет прямо на сечение $F(u')$. В прямой поток включаются кванты, не испытавшие взаимодействие со средой или стенками. В канале переменного сечения $W_{uu'}$ зависит от направления потока. При одинаковых угловых распределениях потоков в обоих сечениях справедливо соотношение

$$F(u) W_{uu'} = F(u') W_{u'u} \quad (1.1)$$

Первый индекс относится к сечению — источнику кванта; $\Phi_{u'u} | u' - u | du$ — вероятность того, что квант энергии, проходящий в сечении $F(u')$, попадет прямо в слой du , образованный сечениями $F(u)$ и $F(u + du)$, стенками канала, и поглотится или рассеяется средой, отразится от стенок в этом слое. Далее используется распределение

$$|\Phi_{u'u} | u' - u | du = \Phi_{u'F} | x' - x | dx + \Phi_{u'V} | \tau' - \tau | d\tau \quad (1.2)$$

где F и V — индексы боковой поверхности и объема слоя dx ; $\Phi_{Fu'} | u' - u |$ — вероятность того, что квант энергии, излученный стенками канала в слое du , попадет прямо на сечение $F(u')$, $\Phi_{Vu'} | u' - u |$ — вероятность того, что квант энергии, излученный в объеме слоя du , попадет прямо на сечение $F(u')$, $V_{FF'} | x' - x | dx'$ — вероятность того, что квант энергии, излученный стенками канала в слое du , попадет прямо на стенки канала в слое du' . Аналогичный смысл имеют $V_{FV'} | \tau' - \tau | d\tau'$, $V_{VF'} | x' - x | dx'$, $V_{VV'} | \tau' - \tau | d\tau'$. Согласно феноменологии и определениям получается

$$\begin{aligned} \Phi_{u'u} | u' - u | du &= \frac{\partial W_{uu'}}{\partial u} du \quad (u' > u), \\ \Phi_{u'u} | u' - u | du &= - \frac{\partial W_{uu'}}{\partial u} du \quad (u' < u) \end{aligned} \quad (1.3)$$

$$\Phi_{Fu'} | u' - u | = \frac{F(u)}{S(x)} \Phi_{u'F} | x' - x |, \quad \Phi_{Vu'} | u' - u | = \frac{F(u)}{4F(u)} \Phi_{u'V} | \tau' - \tau | \quad (1.4)$$

Здесь $S(x) = dF_b(x) / dx$ — внутренний периметр канала, умноженный на D ; $F_b(x)$ — внутренняя боковая поверхность канала; при $u' > u$

$$V_{Fu'} | u' - u | du' = - \frac{\partial \Phi_{Fu'}}{\partial u'} du', \quad V_{Vu'} | u' - u | du' = - \frac{\partial \Phi_{Vu'}}{\partial u'} du'$$

при $u' < u$

$$V_{Fu'} |u' - u| du' = \frac{\partial \Phi_{Fu'}}{\partial u'} du' \quad V_{Vu'} |u' - u| du' = \frac{\partial \Phi_{Vu'}}{\partial u'} du'$$

Распределение величин $V_{Fu'}$ и $V_{Vu'}$ по поверхности и объему слоя du' имеет вид подобный (1.2)

$$\begin{aligned} V_{Fu'} |u' - u| du' &= V_{FF'} |x' - x| dx' + V_{Fv'} |\tau' - \tau| d\tau' \\ V_{Vu'} |u' - u| du' &= V_{VF'} |x' - x| dx' + V_{VV'} |\tau' - \tau| d\tau' \end{aligned} \quad (1.6)$$

По соотношению взаимности

$$\begin{aligned} V_{F'F} &= \frac{s(x)}{s(x')} V_{FF'}, \quad V_{F'V} = \frac{4F(u)}{s(u')} V_{VF'} \\ V_{V'F} &= \frac{s(u)}{4F(u')} V_{FV'}, \quad V_{V'V} = \frac{F(u)}{F(u')} V_{VV'} \end{aligned} \quad (1.7)$$

В уравнениях (1.3) — (1.7), связывающих величины W , Φ , φ и V , величина W выбрана основной. Величины этого типа называют угловыми коэффициентами; они нормированы интервалом $[0, 1]$; их изучению посвящено множество работ.

Феноменологические интегральные уравнения переноса энергии имеют вид

$$\begin{aligned} \sigma T^4(\tau) &= \frac{g_0(\tau)}{4\alpha(\tau)} + q_{\vartheta\Phi} \Phi_{V1}(u) + q_{\vartheta\Phi} \Phi_{V2}(u_0 - u) + \int_0^{x_0} q_{\vartheta\Phi}(x') V_{VF'} |x' - x| dx' + \\ &+ \int_0^{\tau_0} \pi B_{\vartheta\Phi}(\tau') V_{VV'} |\tau' - \tau| d\tau' \end{aligned} \quad (1.8)$$

$$\begin{aligned} \sigma T_0^4(x) &= \frac{g_0}{A} + q_{\vartheta\Phi} \Phi_{F1}(u) + q_{\vartheta\Phi} \Phi_{F2}(u_0 - u) + \int_0^{x_0} q_{\vartheta\Phi}(x') V_{FF'} |x' - x| dx' + \\ &+ \int_0^{\tau_0} \pi B_{\vartheta\Phi}(\tau') V_{FV'} |\tau' - \tau| d\tau' \end{aligned} \quad (1.9)$$

$$g_0 = g - \operatorname{div}(c\gamma w n T - \lambda_* \mathbf{n} \operatorname{grad} T), \quad q_0 = q_p \frac{s_n}{s} + \frac{\delta D}{s} \operatorname{div}(\lambda_0 \mathbf{n} \operatorname{grad} T_0) \quad (1.10)$$

$$q_{\vartheta\Phi}(x') = \sigma T_0^4(x') - \frac{1-A}{A} q_0, \quad \pi B_{\vartheta\Phi}(\tau') = \sigma T^4(\tau') - \frac{\beta}{4\omega_e} g_0 \quad (1.11)$$

Здесь T и T_0 — температуры среды и стенки соответственно; $\sigma = 5.68 \cdot 10^{-8} \text{ вт}/\text{м}^2$. grad^4 ; A — степень черноты внутренней поверхности канала; величина g_0 взята из [1], где названа приведенным тепловыделением; g [$\text{вт}/\text{м}^3$] — плотность химических тепловыделений в среде; c , γ , w — удельная теплоемкость, плотность и скорость среды; \mathbf{n} — единичный вектор, направленный вдоль оси u ; λ_* и λ_0 — коэффициенты теплопроводности среды и стенки; q_p [$\text{вт}/\text{м}^2$] — плотность результирующего потока на внешней поверхности канала, положительная, если поток входит в стенку; для канала — элемента пористого тела $q_p = 0$; S_n — внешний периметр канала умноженный на D ; δ [м^2] — сечение стенки. Все величины в приведенных уравнениях могут быть функциями координаты. Остается пояснить $q_{\vartheta\Phi1}$ и $q_{\vartheta\Phi2}$ — плотности эффективных потоков на торцах канала. Путем совместного решения уравнений для падающих, собственных и эффективных потоков получаем

$$\begin{aligned} q_{\vartheta\Phi1} &= \left\{ q_{c1} + q_{c2} R_1 W_{12}(u_0) + R_1 \int_0^{x_0} q_{\vartheta\Phi}(x) \Phi_{1F}(x) dx + R_1 \int_0^{\tau_0} \pi B_{\vartheta\Phi}(\tau) \Phi_{1V'}(\tau) d\tau + \right. \\ &+ R_1 R_2 W_{12} \left[\int_0^{x_0} q_{\vartheta\Phi}(x) \Phi_{2F}(x_0 - x) dx + \int_0^{\tau_0} \pi B_{\vartheta\Phi}(\tau) \Phi_{2V'}(\tau_0 - \tau) d\tau \right] \left. \right\} / [1 - R_1 R_2 W_{12} W_{21}] \end{aligned} \quad (1.12)$$

$$\begin{aligned}
q_{\partial\Phi 2} = & \left\{ q_{c2} + q_{c1} R_2 W_{21}(u_0) + R_2 \int_0^{x_0} q_{\partial\Phi}(x) \Phi_{2F}(x_0 - x) dx + R_2 \int_0^{t_0} \pi B_{\partial\Phi}(\tau) \times \right. \\
& \times \Phi_{2V}(\tau_0 - \tau) d\tau + R_1 R_2 W_{21} \left[\int_0^{x_0} q_{\partial\Phi}(x) \Phi_{1F}(x) dx + \int_0^{t_0} \pi B_{\partial\Phi}(\tau) \Phi_{1V}(\tau) d\tau \right] \Big] / [1 - R_1 R_2 W_{12} W_{21}] \\
q_{c1} = & (1 - R_1) \sigma T_1^4, \quad q_{c2} = (1 - R_2) \sigma T_2^4
\end{aligned} \tag{1.13}$$

где $q_{\partial\Phi}(x)$ и $\pi B_{\partial\Phi}(\tau)$ следует заменить правыми частями уравнений (1.11); R_1 и R_2 — коэффициенты отражения (или альбедо) торцов канала; T_1 и T_2 — температуры торцов. Уравнения (1.8), (1.9), (1.12) и (1.13) составляют систему с неизвестными T , T_0 , $q_{\partial\Phi 1}$ и $q_{\partial\Phi 2}$, по которым легко определяются любые характеристики.

2. Единое уравнение при $R = \beta = 0$. При этом с наибольшим основанием можно допустить равенство $T = T_0 = T(u)$. Уравнения (1.8) и (1.9) после их умножения на $4F(u)$ и $S(x)$ с учетом (1.4) — (1.6) принимают вид

$$\begin{aligned}
4F(u) \sigma T^4 = & \frac{F(u)}{\alpha(\tau)} g_0 + g_{*1} F(0) \Phi_{1V}(u) + g_{*2} F(u_0) \Phi_{2V}(u_0 - u) + \\
& + \int_0^{u_0} \sigma T^4(u') F(u') \left| \frac{\partial \Phi_{u'V} |u' - u|}{\partial u'} \right| du' \\
S(x) \sigma T^4 = & S(x) g_0 + g_{*1} F(0) \Phi_{1F}(u) + g_{*2} F(u_0) \Phi_{2F}(u_0 - u) + \\
& + \int_0^{u_0} \sigma T^4(u') F(u') \left| \frac{\partial \Phi_{u'F} |u' - u|}{\partial u'} \right| du'
\end{aligned}$$

где $g_{*1} = \sigma T_1^4$, $g_{*2} = \sigma T_2^4$.

Эти уравнения умножаются на $d\tau$ и dx соответственно, после чего складываются. Результат преобразуется при помощи соотношения (1.2) и делится на du . Затем применяется равенство (1.1). Полезно ввести сокращенные обозначения

$$\lambda(u) = \frac{1}{du} \left[\lambda_*(\tau) d\tau + \lambda_0(x) \frac{\delta(x)}{F(u)} dx \right], \quad G(u) = \frac{1}{du} \left[g \frac{d\tau}{\alpha} + \frac{s_n(x)}{F(u)} q_p(x) dx \right]$$

С учетом формулы

$$4 \frac{d\tau}{du} + \frac{S(x)}{F(u)} \frac{dx}{du} = 2\Phi_{uu}(0)$$

справедливой для любого «гладкого» канала, получается окончательный результат

$$\begin{aligned}
2\sigma T^4 \Phi_{uu}(0) = & G(u) + \frac{\partial}{\partial u} [\lambda(u) \mathbf{n} \operatorname{grad} T] - \frac{\partial}{\partial u} [c(u) \gamma(u) \mathbf{w}(u) \mathbf{n} T] - \\
& - q_{*1} \frac{\partial W_{u1}(u)}{\partial u} + q_{*2} \frac{\partial W_{u2}(u_0 - u)}{\partial u} + \int_0^{u_0} \sigma T^4(u') \left| \frac{\partial^2 W_{uu'}}{\partial u \partial u'} |u' - u| \right| du' \tag{2.1}
\end{aligned}$$

Величина $W_{uu'} |u' - u|$, вычисляемая непосредственно, зависит от углового распределения излучения в сечении $F(u)$. Однако здесь она фигурирует как двойной интеграл функции V и поэтому определяется этой функцией независимо от фактического углового распределения. По условиям задачи V вычисляется при диффузном излучении поверхностей и сферической индикаторице излучения элемента объема. При этом W получается таким же, как для изотропного потока в сечении, а использование равенства (1.1) законное.

Уравнение потока получается из (2.1) путем умножения его на du и интегрирования в интервале $[0, u]$

$$\begin{aligned}
& \int_0^u G(u) du + \lambda(u) \mathbf{n} \operatorname{grad} T \left| \int_0^u -c \gamma \mathbf{w} \mathbf{n} T \right| + q_{*1} [1 - W_{u1}(u)] - q_{*2} [W_{12}(u_0) - \\
& - W_{u2}(u_0 - u)] - \int_0^{u_0} \sigma T^4(u) dW(u) - \int_0^u \sigma T^4(u') \frac{\partial W(u - u')}{\partial u'} du' + \\
& + \int_u^{u_0} \sigma T^4(u') \frac{\partial W(u' - u)}{\partial u'} du' = 0
\end{aligned} \tag{2.2}$$

В этом уравнении выделяются суммарные потоки, обусловленные всеми видами теплопередачи

$$\begin{aligned} q(0) &= q_{*1} - q_{*2} W_{12}(u_0) - \int_0^{u_0} \sigma T^4(u) dW(u) + c(0) \gamma(0) w(0) nT(0) - \lambda(0) \left(\frac{dT}{dt} \right)_{t=0} \\ q(u) &= q_{*1} W_{u1}(u) - q_{*2} W_{u2}(u_0 - u) + \int_0^u \sigma T^4(u') \frac{\partial W_{uu'}(u' - u)}{\partial u'} du' - \\ &- \int_u^{u_0} \sigma T^4(u') \frac{\partial W_{uu'}(u' - u)}{\partial u'} du' + c(u) \gamma(u) w(u) nT(u) - \lambda(u) \frac{dT}{dt} \end{aligned}$$

Согласно последним трем уравнениям,

$$q(u) - q(0) = \int_0^u G(u) du$$

или, после дифференцирования,

$$\frac{dq(u)}{du} = G(u), \quad \frac{dq(u)}{dl} = G(u) \frac{du}{dl} = g_*(u)$$

где g_* [$\text{вт}/\text{м}^3$] — удельная мощность тепловыделений за счет внешних и внутренних источников. Для трехмерной задачи получается $\operatorname{div} q = g_*$, что симметрично ранее известному соотношению $\operatorname{div} q_u = g_0$, где g_u [$\text{вт}/\text{м}^2$] — лучистый поток.

Уравнение (2.2) можно еще упростить путем ликвидации последней производной, если принять $\lambda = \text{const}$. Для этого оно еще раз умножается на du и интегрируется:

$$\begin{aligned} \int_0^u du \int_0^u G(u) du + q(0) u &= q_{*1} \int_0^u W_{u1}(u) du - q_{*2} \int_0^u W_{u2}(u_0 - u) du + \\ &+ \int_0^{u_0} \sigma T^4(u) W_{1u}(u) du - \int_0^{u_0} \sigma T^4(u') W_{uu'} |u' - u| du' \end{aligned}$$

Ввиду многочисленности независимых параметров общее решение приведенных уравнений, возможное в числовом виде, целесообразно проводить только в конкретной задаче практики. Здесь полезно рассмотреть ряд частных решений.

3. Влияние рассеяния на температурное поле в среде. В (1.11.2) физический смысл $B_{\text{эфф}}$ выясняется при помощи равенства $\pi B_{\text{эфф}} = \sigma T^4_{\text{эфф}}$, где $T_{\text{эфф}}$ — эффективная температура, эквивалентная температуре элемента объема, излучающего такой же поток, но как собственный, полностью тепловой. Пусть заданы условия на границах канала, поля k и g_0 , изменяется только β/k . Тогда получается $T_{\text{эфф}} = \text{const}$. Эта теорема доказывается логически. По условию, общее тепловыделение задано, α — коэффициент переизлучения. Распределение потоков и сами они безразличны к происхождению: переизлучению или рассеянию. Переписанное уравнение (1.11.2)

$$\sigma T^4 = \sigma T_{\text{эфф}}^4 + \frac{\beta}{4\alpha k} g_0 \quad (3.1)$$

дает функцию одной переменной $T(\beta/k)$. Результат замечателен: а) при $g_0 = 0$ температура не зависит от соотношения α и β ; б) при $g_0 \neq 0$ влияние β/k определяется знаком g_0 ; в) при $\beta/k \rightarrow 1$, получается $T \rightarrow \infty$ или $T \rightarrow 0$, в зависимости от знака g_0 . Очевидно, при $\beta/k = 1$ условия особые. Здесь перенос излучения автономен, т. е. не зависит от теплопроводности и конвекции. Связь между T и $T_{\text{эфф}}$ или лучистой температурой исчезает.

Наше условие постоянства поля g_0 возможно только при незначительной теплопроводности или конвекции. В действительности, при $\beta/k \rightarrow 1$, имеем $|g_0| \rightarrow 0$. Простому анализу доступен противоположный случай, когда теплопроводность и конвекция практически полностью определяют температурное поле. Тогда в (3.1) имеем $T \approx \text{const}$, но $|g_0| \rightarrow 0$ при $\beta/k \rightarrow 1$. Получается функция $T_{\text{эфф}}(\beta/k)$, где роли знаков g_0 меняются. Знаки g_0 легко установить для начала и конца канала. Ценность приведенного анализа сохраняется в случае произвольной индикаторы рассеяния. В ряде случаев ее влияние на порядок меньше влияния β/k [2]. Для крупных частиц и небольших оптических толщин индикаторы можно представить сферической и, частично, предельно вытянутой, так что ее влияние учитывается непосредственно.

4. Канал без расхождения суммарного потока. Теплопроводность и излучение. Торцы канала черные. Если в пористом теле нет процессов горения, фазовых превращений и т. п., то дивергенция суммарного потока энергии равна нулю. Ниже анализируется совместный перенос энергии теплопроводностью и излучением (конвекции нет) при $\beta = 0$. Рассматривается приближение независимого наложения потоков теплопроводности q_m и излучения q_λ , принятное в расчетной практике [3]. Из общих соображений следует, что по мере «побеления» стенок канала, лучистый поток становится все более независимым; при $R = 1$ и $\lambda_* = 0$ (для среды) он будет полностью независимым; то же получится при $\beta / k = 1$ и $R = 1$. Случай с $\beta = 0$ и $R = 0$ наименее благоприятен; также наименее благоприятно приближение плоского слоя однородной среды (вырожденный канал), так как взаимодействие теплопроводности и излучения здесь наиболее тесное. И именно здесь имеются числовые решения точных уравнений [4]. Независимый поток теплопроводности подсчитывается по формуле

$$q_m / \sigma T_1^4 = \frac{4N}{\tau_0} (1 - \theta_2) \left(\theta_2 = \frac{T_2}{T_1}, \quad N = \frac{\alpha \lambda}{4\sigma T_1^3} \right) \quad (4.1)$$

Независимый поток излучения равен

$$q_\lambda / \sigma T_1^4 = D (1 - \theta_2^4) \quad (4.2)$$

где D — вероятность того, что квант энергии, падающий на слой, пройдет через него прямо или после переизлучений.

Сопоставление суммы потоков по (4.1) и (4.2) с точными значениями продемонстрировано в [3]. Максимальная ошибка равна 11%, когда q_m и q_λ сопоставимы. Приближенный расчет дает заниженный результат. Выше отмечено, что для каналов метод даст меньшую ошибку, и, в целом, приемлемый. По определению температурного поля, нет метода, эквивалентного по общности и точности.

5. Влияние оптических констант торцов канала (продолжение разд. 4). Конкретный анализ возможен опять-таки пока для плоско-параллельного слоя. Число аргументов возросло до пяти: τ_0 , θ_2 , N , A_1 , A_2 , поэтому весьма желательны приближенные аналитические зависимости. В [3] и в этих условиях было испробовано независимое вычисление потоков q_m и q_λ . При этом использованы решения по точному уравнению [5], полученные при $A_1 = A_2 = A$. Однако расхождение теперь слишком большое — до 250%. Ниже дается приближенная формула для малых параметров N .

Прежде всего следует остановиться на формуле лучистого потока [6,7]

$$q_\lambda / \sigma T_1^4 = \frac{1 - \theta_2^4}{r} = \frac{1 - \theta_2^4}{R_1 / A_1 + R_2 / A_2 + 1 / D} \quad (5.1)$$

где r — суммарное сопротивление лучистому потоку. Точность формулы определяется величиной D . В табл. 1 представлены наиболее точные значения D по разным источникам. По-видимому, D_1 (по [8]) при $\tau_0 \leq 4$ несколько завышены; D_4 (по [10]) в явном виде публикуются впервые; величины D в последней колонке получены в результате обработки всех данных, они и используются в последующих расчетах. Хорошее приближение дает формула

$$D = \{1 + 0,75 \tau_0 + 0,06 [1 - \exp(-3 \tau_0)]\}^{-1}$$

Из расчетов [8,11] следует, что q_λ не обладает большой чувствительностью к температурному полю в слое. Поэтому лучистый поток можно вычислять по (5.1) при любых N . Для выявления погрешности предложенной ниже формулы в чистом виде величина q_m^0 берется не по (4.1), а из расчетов по точному уравнению при $A_1 = A_2 = A$, именно, по разности q и q_m^0 . Основной тезис состоит в том, что при малой теплопроводности среды температура и ее градиент у стенки определяются лучистой температурой. Поэтому при малых N

$$q_m = q_m^0 \frac{T_1 - T_c}{T_1 - T_u} \quad (5.2)$$

где T_u и T_c — лучистые температуры у стенки I при черных и серых стенках. Предполагая, что T_u и T_c определяются полностью излучением, используем систему уравнений

$$p = \frac{T_u^4 - T_c^4}{T_1^4 - T_2^4} = \frac{\sigma T_c^4 - q_{\text{ЭФ2}}}{q_{\text{ЭФ1}} - q_{\text{ЭФ2}}} , \quad q_{\text{ЭФ1}} = \sigma T_1^4 - R_1 A_1^{-1} q_\lambda, \quad q_{\text{ЭФ2}} = \sigma T_2^4 + R_2 A_2^{-1} q_\lambda$$

Согласно [11 12],

$$p = \frac{0,5 - E_3(\tau_0) + \tau_0 [1 - F_2(\tau_0)]}{1 + \tau_0 - \exp(-\tau_0)}$$

В [11] имеется более точная формула. Величина q_{α} подсчитывается по (5.1). Окончательно тепловой поток определяется по формуле

$$q = q_m^0 \delta_* + q_{\alpha} \left(\delta_* = \frac{1 - [\theta_2^4 + (1 - \theta_2^4) r^{-1} (p / D + R_2 / A_2)]^{0.25}}{1 - [\theta_2^4 + (1 - \theta_2^4) p]^4} \right) \quad (5.3)$$

Величина δ_* показывает возрастание потока теплопроводности в связи с наличием излучения. Теперь влияние A_1 , A_2 , θ_2 и τ_0 устанавливается элементарным анализом, причем влияние A_1 и A_2 оказывается противоположным. Для проверки формулы

Таблица 1
Сопоставление величин D для плоскопараллельного слоя

τ_0	D_1 по [°]	D_2 по [°]	D_3 по [°]	D_4 по [°]	D
0.1	9159	9158	9157	—	9158
0.2	8496	—	8491	8492	8492
0.3	7941	—	7934	7936	7936
0.4	7467	—	7458	7459	7459
0.5	7051	7043	7040	7041	7041
0.6	6683	—	6672	6663	6672
0.7	6354	—	—	—	6343
0.8	6057	—	6046	—	6046
0.9	5789	—	—	—	5778
1	5543	5532	5532	—	5532
1.5	—	—	4572	—	4572
2	3905	3896	3900	—	3900
2.5	—	—	3401	—	3401
3	3019	—	3016	—	3016
4	2461	2450	—	—	2458
5	2078	—	—	—	2076
6	1798	1798	—	—	1798
7	1584	—	—	—	1584
8	1416	1416	—	—	1416
9	1280	—	—	—	1280
10	1168	1168	—	—	1168

(5.3) использованы результаты [4,5], где наименьшей величиной N принято 0.01. Результаты представлены в табл. 2. При $\tau_0 = 1$, $\theta_2 = 0.5$, $A = 0.5$ замечена аномалия. Она объясняется, по-видимому, неточностью величины q_m^0 . При увеличении τ_0 погрешность возрастает в связи с падением роли излучения. Результаты будут лучшими, если учесть, что теплопроводность уменьшает лучистый поток. Как видно, формула (5.3) применима при $N < 0.01$ и для сравнительно тонких слоев. Однако при использовании q_m^0 по формуле (4.1) погрешность резко возрастает. К сожалению, при

Таблица 2
Сопоставление приближенных значений тепловых потоков по (5.3) — $q'/\sigma T_1^4$
с результатами по точному уравнению [5] — $q/\sigma T_1^4$ при $N = 0.01$, $A_1 = A_2 = A$

A	τ_0	θ_2	$q_m^0/\sigma T_1^4$	δ_*	$q_m/\sigma T_1^4$	$q_{\alpha}/\sigma T_1^4$	$q'/\sigma T_1^4$	$q/\sigma T_1^4$	q'/q
0.5	0.1	0.5	0.215	1.11	0.2385	0.309	0.5475	0.524	1.04
	1	0.5	0.078	1.65	0.1288	0.248	0.3768	0.338	1.11
	1	0.1	0.102	1.54	0.1848	0.274	0.4588	0.390	1.18
	10	0.5	0.012	6.38	0.0765	0.084	0.1805	0.104	1.74
0.1	0.1	0.5	0.215	1.20	0.258	0.049	0.307	0.267	1.15
	1	0.5	0.078	2.23	0.174	0.047	0.221	0.156	1.42
	1	0.1	0.102	2.26	0.230	0.050	0.280	0.222	1.27
	10	0.5	0.012	8.76	0.105	0.035	0.140	0.090	1.56

изучении влияния A_1 и A_2 на теплопередачу в каналах при малых N плоскопараллельный слой (как вырожденный канал) даст наименьшую ошибку. Согласно принятым теоретическим посылкам, должно быть теснейшее взаимодействие материала с излучением. Но в канале боковые поверхности усиливают теплопроводность. Наконец, в формуле (5.1) в применении к каналу вычисление r следует обсудить особо.

6. Сопротивление лучистому потоку осесимметричного канала с кусочно-гладким профилем и адиабатическими стенками. В предыдущем разделе показано, что лучистый поток может быть принят независимым. Это равносильно условию адиабатичности стенок, при котором сопротивление лучистому потоку определяется наиболее просто. Канал на фиг. 1 теперь следует считать одним из многих участков, соединенных последовательно. Коэффициент пропускания i -го участка в положительном направлении D_i . Его смысл аналогичен смыслу D для слоя (см. разд. 4). В противоположном направлении D_i вычисляется по соотношению взаимности. Решение задачи в случае молекулярного потока опубликовано ранее [13], где общий метод сопоставлен с рядом других на примере двух участков. По аналогии получаются следующие элементарные сопротивления, отнесенные к входному сечению F_1 (вход в первый участок):

а) Сопротивление излучающего торца A_1^{-1} ,

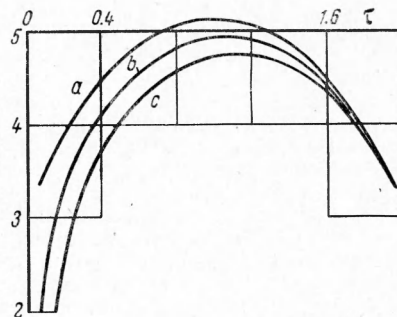
б) Сопротивление торца 2 — стока энергии $R_2 A_2^{-1} F_2^{-1} F_1$.

Как видно, даже при $F_1 = F_2$ сопротивления торцов имеют несимметричные формулы, что противоречит определению в [14], где рассмотрены две плоскости.

в) Сопротивление i -го участка канала $(1/D_i - 1) F_1/F_i$, где F_i — сечение входа в участок i .

г) Сопротивление диафрагмы — входа в i -ый участок

$$\frac{F_1}{F_i} \frac{F_{i-1} - F_i}{F_{i-1}}$$



Фиг. 2

где F_{i-1} — сечение примыкающего ($i - 1$)-го участка на смежном конце.

При $F_i = F_{i-1}$ и $F_i > F_{i-1}$ сопротивление диафрагмы равно нулю.

На основании последовательности всех элементов канала их сопротивления складываются. Легко получается следствие второго начала термодинамики — соотношение взаимности

$$r_+ / F_1 = r_- / F_2$$

где r_+ и r_- — сопротивления канала в прямом и обратном направлениях. Погрешность столь общего приема определяется тем, что величины D_i принято вычислять для диффузного потока, входящего в участок. Но для всех участков, кроме первого, он, вообще говоря, не диффузный. Для двух круглых участков, равных по длине и диаметру, с прозрачной средой, метод был проверен [15]. Наибольшая погрешность в 5.6% получилась для средних по длине участков ($l/D = 2$). Приближенное вычисление дает заведомо завышенный (по сопротивлению) результат.

7. Конвекция. По условиям задачи имеет значение лишь вынужденная конвекция. Уравнение (2.1) при $\lambda = 0$ и $A_1 = A_2 = 1$ решено в приближении плоскопараллельного слоя. Излучение, падающее в среду от стенок, учтено косвенно полем удельной мощности тепловыделений g , причем принято $g = \text{const}$ (о двух способах учета граничных условий см. [16]). На фиг. 2 показано изменение температурного поля в связи с движением среды при $w_n = w$, $\alpha = 0.2 \text{ м}^{-1}$, $\tau_0 = 2$, $T_2 = 0$, $T_1 = 350^\circ \text{К}$ (здесь T_1 — температура среды, входящей в слой), $g/4\pi c = 46.274 \text{ кем/м}^2$. Величина $4\pi c g / g$ равна нулю (кривая a), $1.508 \cdot 10^{-3} \text{ град}^{-1}$ (кривая b), $2.765 \cdot 10^{-3} \text{ град}^{-1}$ (кривая c). В этих условиях даже для газа (сущим мало) движение среды проходит с небольшой скоростью. Однако оно сильно влияет на температуру в начале слоя. В конце слоя изменений при этих условиях нет. Выводы вполне можно перенести на канал постоянного сечения. Для адиабатического слоя с непосредственным учетом граничных условий имеется приближенное решение [17].

Поступила 22 I 1967

ЛИТЕРАТУРА

- Невский А. С. Теплообмен излучением в металлургических печах и топках котлов. Металлургиздат, 1958.
- Иванов А. П., Шербак И. Д. Ослабление узкого пучка света в мутной среде. Ж. прикл. спектроскопии, 1966, т. 5, № 2, стр. 195.

3. С е с с Р. Д. Теплообмен при совместном действии теплового излучения и теплопроводности или конвекции. Сб. «Современные проблемы теплообмена», Изд. «Энергия», 1966, стр. 140.
4. В и с к а н т а Р., Г р о ш Р. Перенос тепла теплопроводностью и излучением в поглощающей среде. Теплопередача. Сер. С, 1962, т. 84, № 1, стр. 79.
5. V i s k a n t a R., G r o s h R. J. Effect of surface Emissivity on heat Transfer by simultaneous conduction and radiation. Internat. J. Heat Mass Transfer, 1962, vol. 5, p. 729.
6. Д е т к о в С. П. Перенос лучистой энергии вблизи плоской поверхности. Теплофизика высоких температур, 1965, т. 3, № 3, стр. 438.
7. H e a s l e t M. A., W a r m i n g R. F. Radiative Transport and wall Temperature Slip in an absorbing planar Medium. Internat. J. Heat Mass Transfer, 1965, vol. 8, p. 979.
8. A d r i a n o v V. N., P o l y a k G. L. Differential Methods for studying radiant Heat Transfer. Internat. J. Heat Mass Transfer, 1963, vol. 6, p. 355.
9. V i s k a n t a R. Effectiveness of a Layer of an Absorbing-Scattering Gas in Shielding a Surface from Incident Thermal Radiation. J. Franklin Inst., 1965, vol. 280, No. 6, p. 483.
10. К у з н е ц о в Е. С., О в ч и н с к и й В. В. Результаты численного решения интегрального уравнения теории рассеяния света в атмосфере. Тр. геофиз. ин-та. 1949, № 4 (131).
11. Р у б ц о в Н. А. К переносу теплового излучения в плоском слое поглощающей среды. ПМТФ, 1965, № 5, стр. 58.
12. V i s k a n t a R., G r o s h R. J. Heat Transfer in a Thermal Radiation. Absorbing and Scattering Medium. Internat. Heat Mass. Transfer Conf., Boulder, Colorado, 1961, p. 820.
13. Д е т к о в С. П. К определению упругости паров по скорости испарения в высоком вакууме. Ж. физ. химии, 1957, т. 31, № 10, стр. 2367.
14. Ш о р и н С. Н. Теплопередача. Изд. «Высшая школа», 1964, стр. 412.
15. O a t l e y C. W. The flow of Gas through composite sistem at very low pressures. Brit. J. Appl. Phys., 1957, vol. 8 p. 15.
16. С о б о л е в В. В. Перенос лучистой энергии в атмосферах звезд и планет. ГИТТЛ, 1956.
17. А д р и а н о в В. Н. Лучистый теплообмен в плоском слое движущейся среды. Тепло - и массоперенос, Минск. Изд. «Наука и техника», 1965, т. 2, стр. 103.

О КИНЕТИЧЕСКИХ КОЭФФИЦИЕНТАХ МНОГОКОМПОНЕНТНОЙ НЕИЗОТЕРМИЧЕСКОЙ ПЛАЗМЫ

*A. Ю. Кирий, В. П. Силин
(Москва)*

Влияние поляризации на кинетические коэффициенты в двухкомпонентной полностью ионизированной неизотермической плазме было выявлено в работах [1-4]. Полученные в работе [1] «добавки» в кулоновскому логарифму в коэффициентах вязкости и теплопроводности порядка

$$\frac{T_e}{T_i} \frac{1}{2} \left| \frac{e_i}{e} \right| \left[\ln \frac{e_i^2 m_i T_e^3}{e^2 m_e T_i^3} \right]^{-1} \quad (1)$$

и намного превышают соответствующую добавку к кулоновскому логарифму в коэффициенте трения электронов и ионов, равную

$$\frac{T_e}{T_i} \left[\ln \frac{e_i^2 m_i T_e^3}{e^2 m_e T_i^3} \right]^{-2} \quad (2)$$

Добавка (1) обусловлена взаимодействием электронов с ионнозвуковыми колебаниями неизотермической плазмы, имеющими фазовые скорости, меньшие тепловой скорости электронов v_{Te} и большие тепловой скорости ионов v_{Ti} , в то время как добавка (2) связана с взаимодействием электронов и ионов с теми же звуковыми колебаниями, причем число «резонансных» ионов со скоростями, большими v_{Ti} , мало, чем и объясняется наличие дополнительной степени логарифма в знаменателе (2).

В рассматриваемом случае трехкомпонентной неизотермической плазмы с двумя сортами ионов i и I при условии

$$v_{Te} \gg v_{Ti} \gg v_{TI}, \quad r_{DI}^{-2} \gg r_{De}^{-2} + r_{Di}^{-2} \quad (3)$$